



PAPEL del ME en la Biopsia Renal

Dr. Eduardo Vazquez Martul
Servicio A.Patológica

Aspiration biopsy of the kidney

P Iversen... - The American Journal of
Medicine, 1951 - Elsevier

Lab Invest. 1957 Mar-Apr;6(2):191-204.

Electron microscopic investigations of the renal glomeruli.

A. Bergstrand

Cell and Tissue Research

Volume 48, Number 1, 51-73,

**Anatomy of the glomerulus as observed in biopsy material from young
and healthy
human subjects**

A. Bergstrand and H. Bucht

Elektron microscopic investigation of other parts of the same biopsy material shows considerable modifications of the usual structure of the capillary epithelial cells. The mitochondria are enlarged

M.E. En La biopsia renal



- ¿Por qué?
- ¿Cuándo?
- ¿Quién?

Técnica costosa

- *Apredizaje*
- *Equipamiento*
- *Procesamiento*





>661 mil ESRD en 2.010 en USA con costo de > 28 mil millones \$
>2 millones en 2.030 cuyo costo será de >105 mil millones \$
➤30 MIL en España con incremento anual de 5.000
➤**Saturación de listas de espera para trasplante a nivel mundial**



- Prevalencia de IRC en aumento: > 10% de población
- Crp >1.3mg/dl como factor predictivo mas potente de ECV
- La Enf. Renal es un factor de riesgo independiente de muerte,ECV y hospitalización
- La media de dias de hospital/paciente renal cr. /año es 14 días



**BAJO EL LEMA 'PROTEGE TUS RIÑONES,
SALVA TU CORAZÓN'**

[Nefrólogos y cardiólogos se unen contra la enfermedad renal crónica](#)

Objetivo prioritario de la OMS

Prevención y acción global
de la Enfermedades crónicas

Entre un 20%- 50% de pacientes en IRC se desconoce causa de enfermedad renal por ausencia o estudio incompleto de la biopsia

En España solo un 20 % de biopsias tienen estudio completo con ME

*U.S. Renal DataSystem 2001 Annual Data report
Atlas End-Stage renal Disease in US. Bethesda
Obrador G., et al Seminars in Nephrology, 2002,22
Registro Español de Glomerulonefritis.*

Abordaje de la Biopsia renal

- Proteinuria aislada
- Hematuria microscópica aislada
- Hematuria macroscópica
- S.nefrótico
- S. nefrítico agudo
- IRA
- S. glomerulonefritis rápidamente progresiva
- IR Crónica
- LES
- S. Pulmón Riñón
- Enferm hepática y riñón
- Text Inmunológicos

Histopatología

Patrones básicos
Lesiones cualificantes

Inmunofluorescencia

ME

Buena técnica de procesado

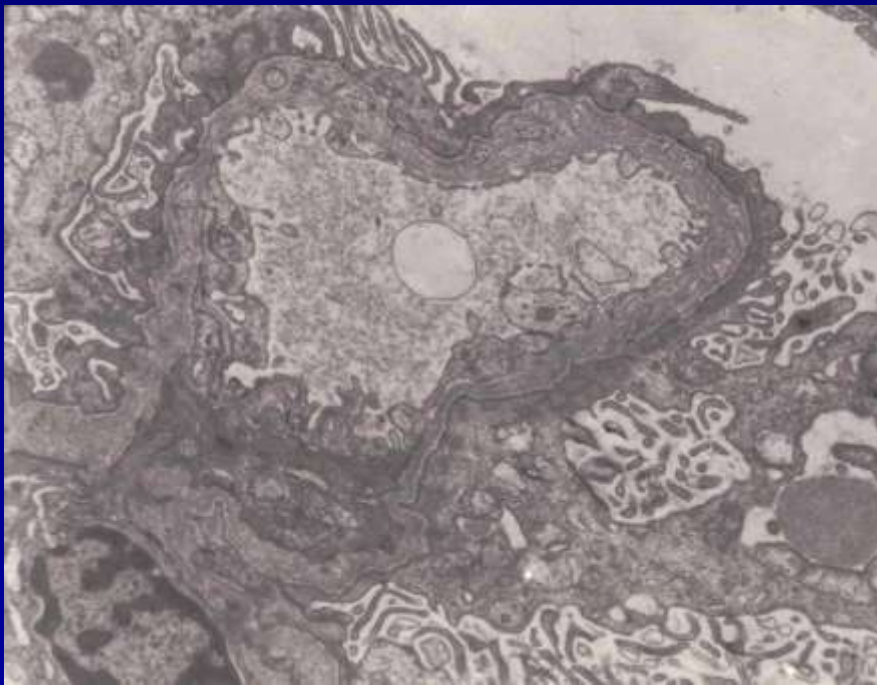
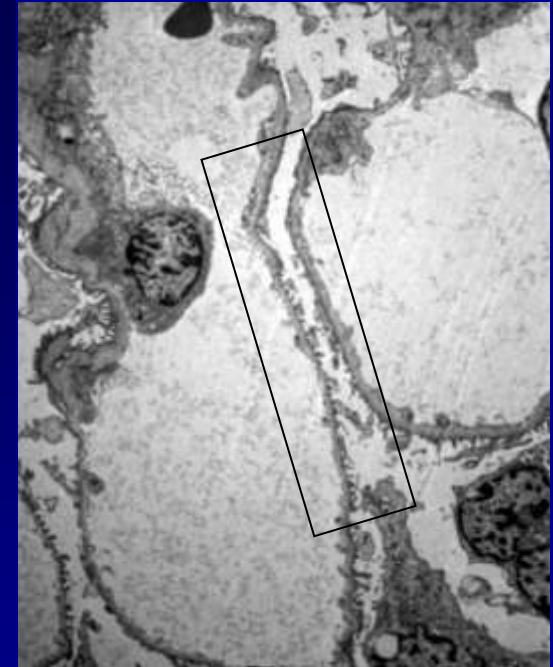
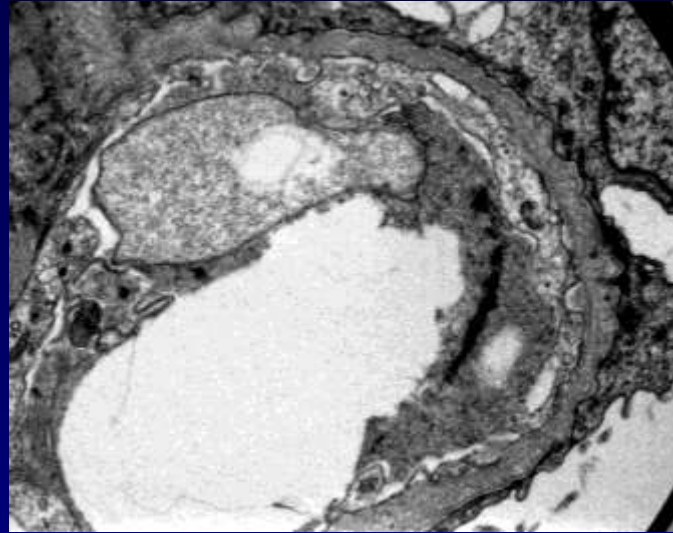


Utilidad del ME en la Hematuria

Alport. Ultraestructura



Arthur Cecil Alport



HEREDITARY FAMILIAL CONGENITAL HAEMORRHAGIC NEPHRITIS.

BY

A. CECIL ALPORT, M.D.ED., M.R.C.P.LOND.,
MEDICAL UNIT, ST. MARY'S HOSPITAL, PADDINGTON.

British Medical Journal 1927
Page 6

Síndrome de Alport

Alteración Bioquímica-ultraestructural de la MB

Principal signo

Heterogenicidad genética
Formas unidas a cr X
Formas autosómicas dominantes
Formas autosómicas recesivas
Nuevas mutaciones (> de 200)

HEMATURIA+ SORDERA

OTRAS MANIFESTACIONES
Oculares, dermatológicas,
Músculo liso, plaquetas, LPN

Evolución a IRC
Proteinuria
HTA

Síndrome de Alport

Ultrastructural and immunohistochemical findings in Alport's syndrome: a study of 108 patients from 97 Italian families with particular emphasis on COL4A5 gene mutation correlations.

• [Mazzucco G](#), J Am Soc Nephrol. 1998 Jun;9(6):1023-31

La severidad de la mutación se relaciona con la intensidad del daño ultraestructural

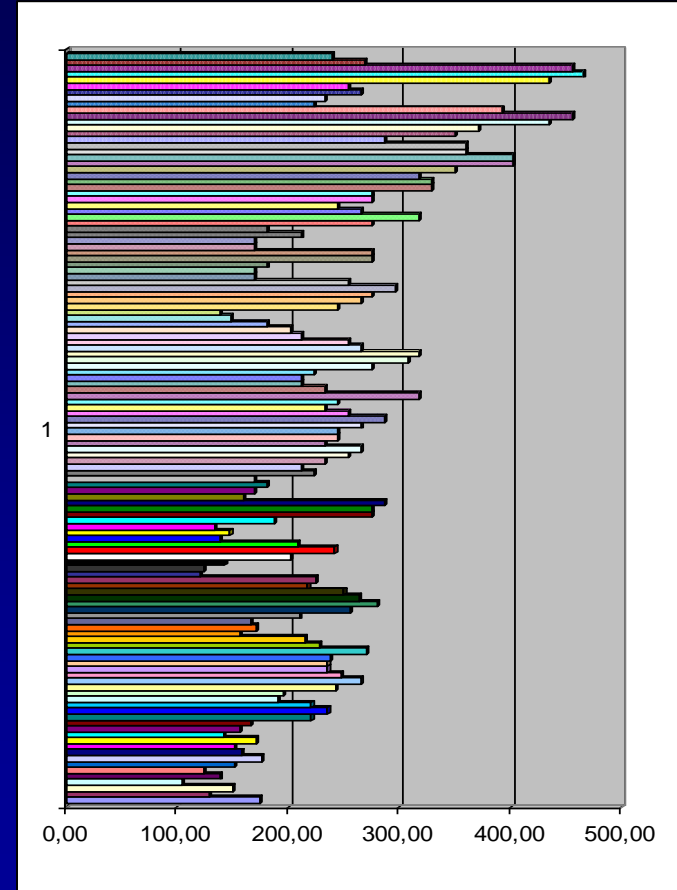
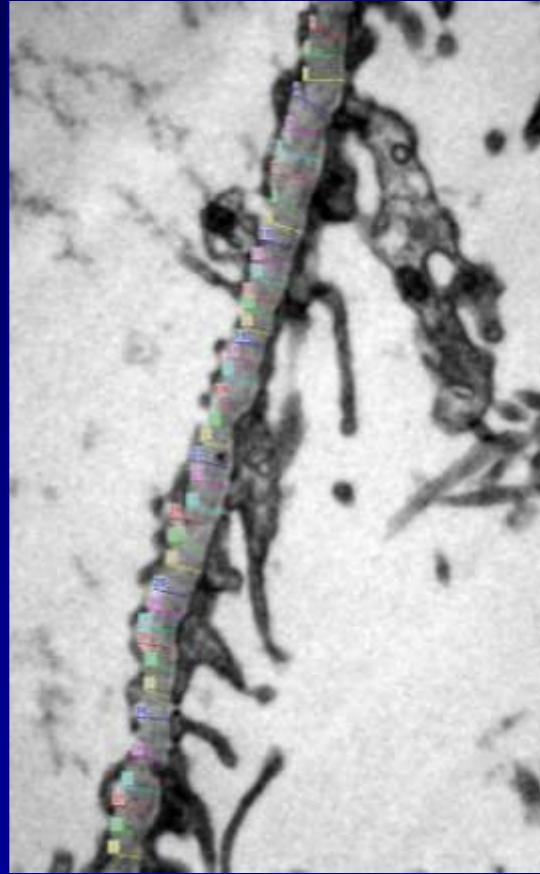
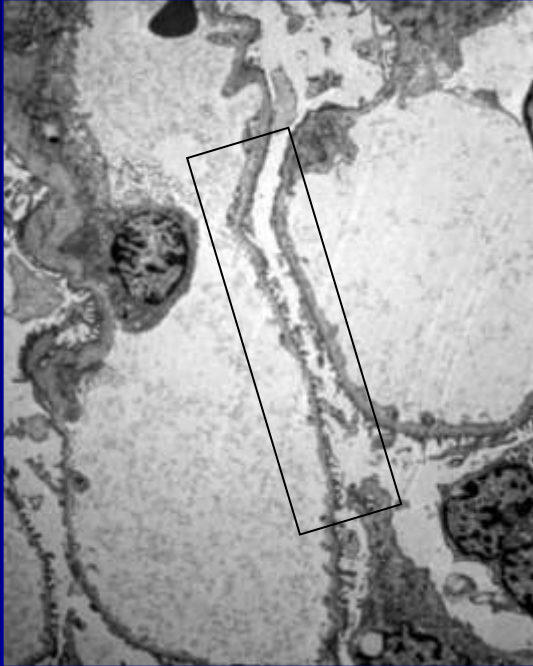
Las alteraciones ultraestructurales eran consistentes con Alport en 66 casos

Dudosas en 20 casos

No significativas en 22 casos

La combinación de estudios IHQ que demuestran expresión del colágeno, junto con el ME han posibilitado el diagnóstico en el 92% de los casos

S. Hematúrico *S Membranas Finas*



EMBF

Grosor de MBG: valores medios

Valores medios en varones adultos 360 ± 35 nm

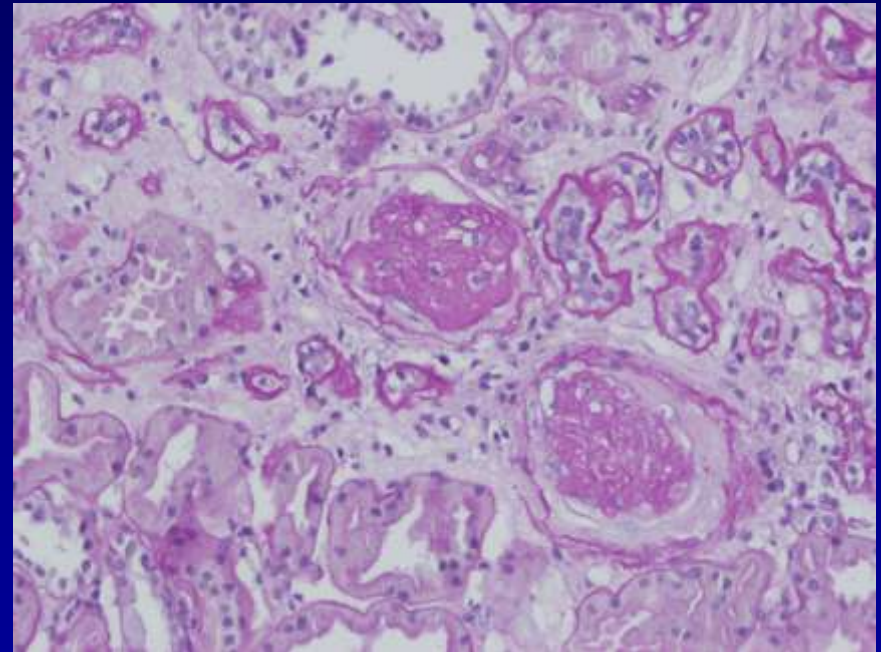
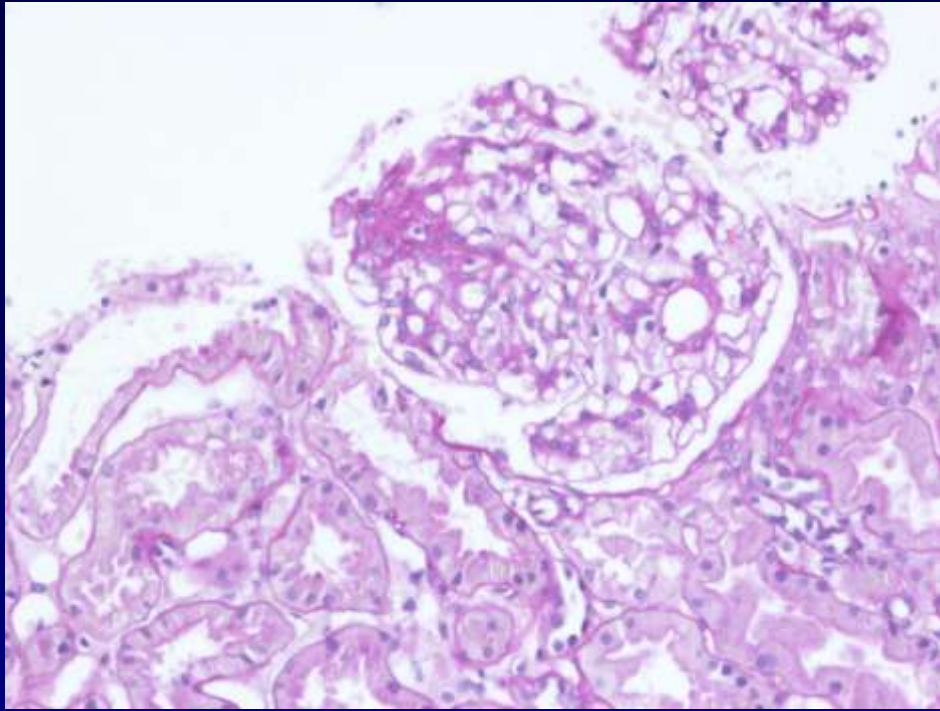
Valores medios para sexo femenino 325 ± 42 nm

MBF es definida cuando su grosor medio es de < 200 nm

Caso problema: resumen clínico

Varón 39 años. No diabético

- Antecedentes familiares de **sordera**. No familiares en IRC ni Tr R.
- Motivo de estudio : **microhematuria**. **No proteinuria**
- Estudio sistémico : ANAS;ANCAS;ANTI-DNA: negativos
- Analisis de orina : citología negativa, BK negativo, urocultivo negativo
- No patología urológica
- Deterioro de FR con Crs de 1,4mg/dl
- Estudio de imagen: normalidad
- Angio-RMN. normal



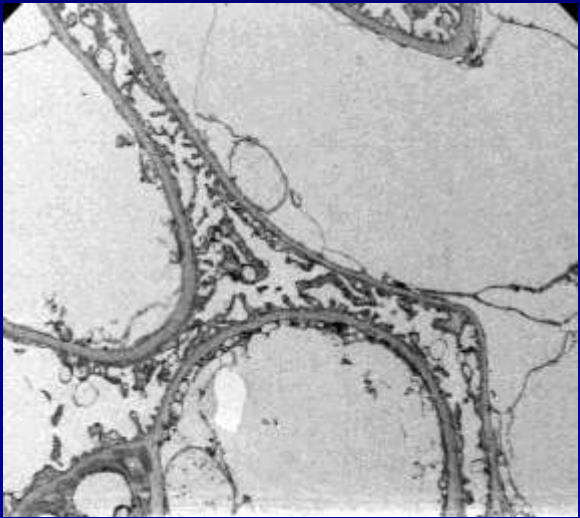
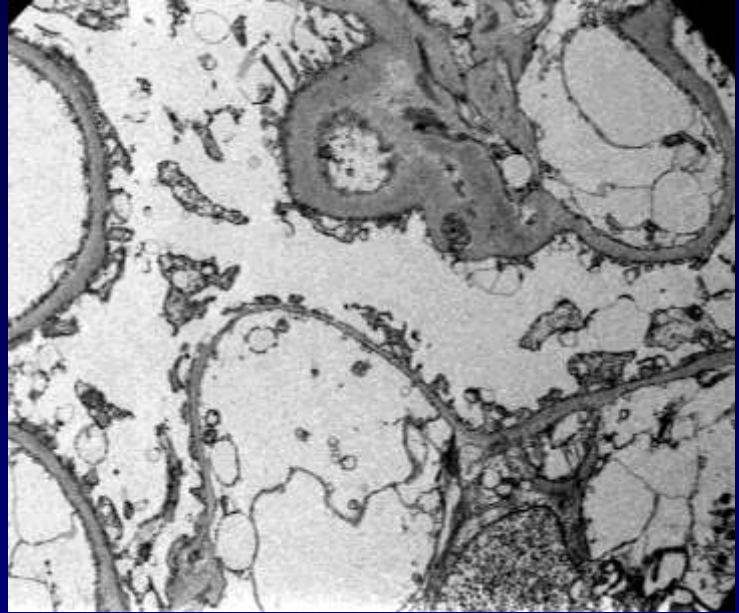
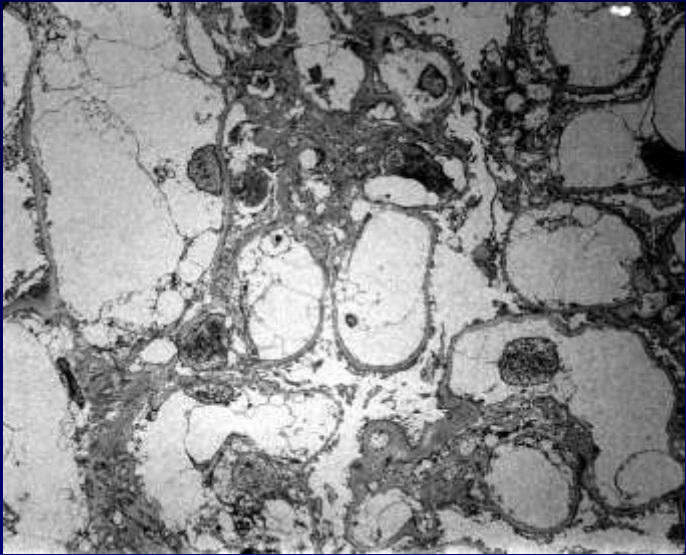
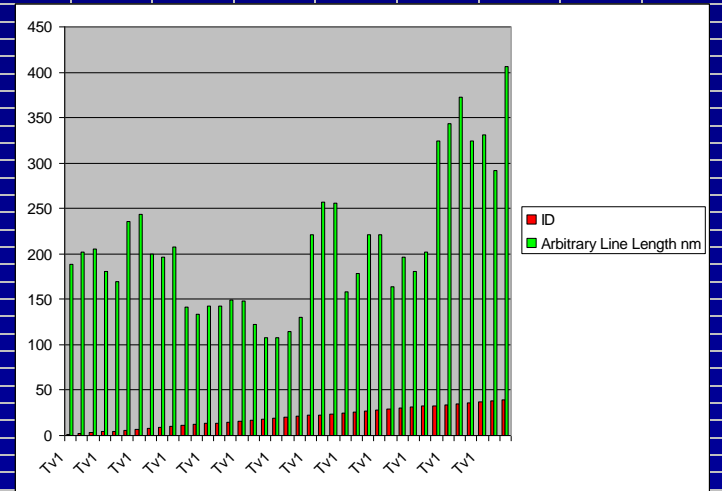
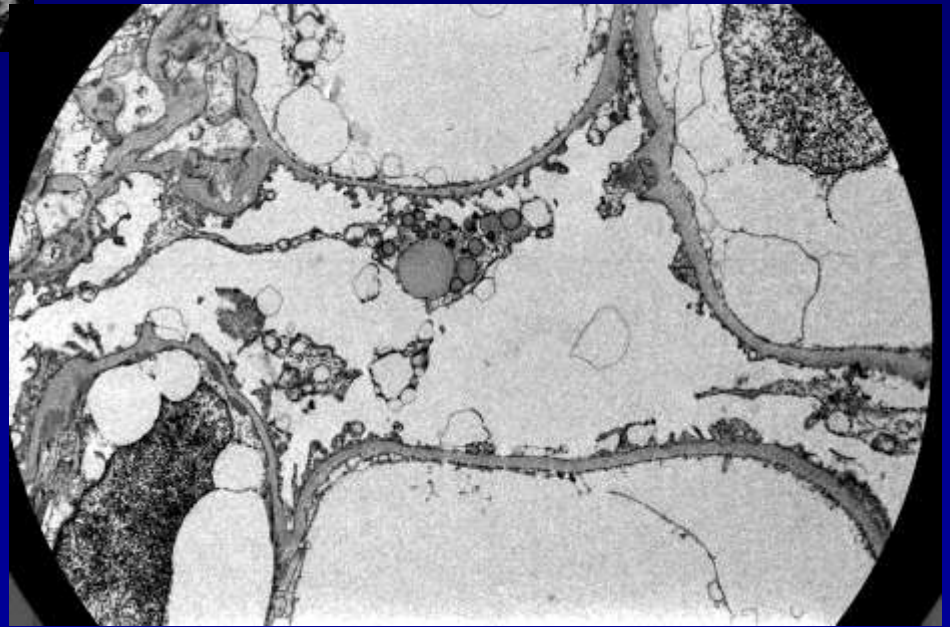
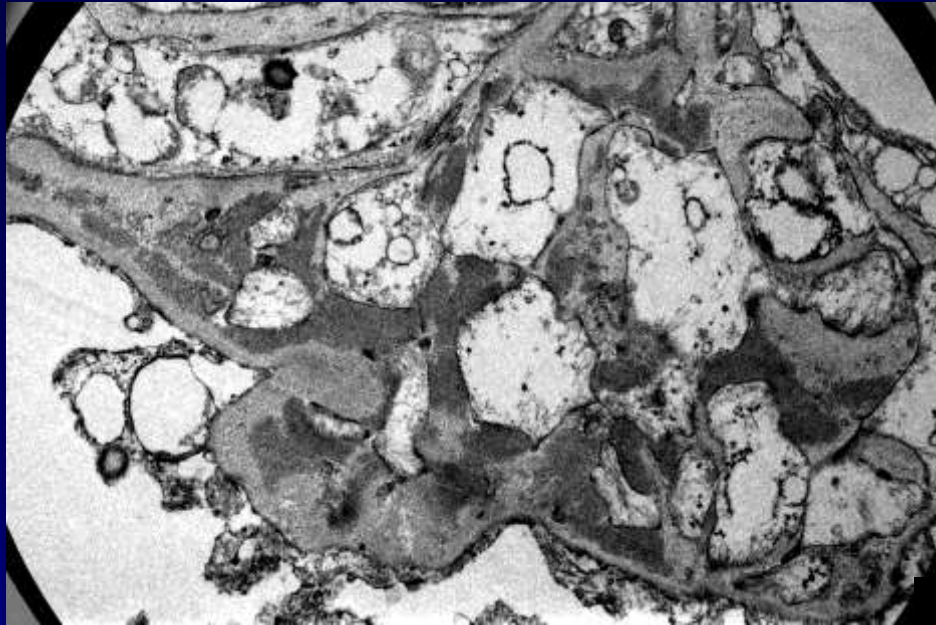


Image Name	ID	Arbitrary Line Length nm
Tv1	1	188.12
Tv1	2	202.12
Tv1	3	205.83
Tv1	4	180.25
Tv1	5	169.57
Tv1	6	235.15
Tv1	7	243.01
Tv1	8	159.21
Tv1	9	156.91
Tv1	10	206.11
Tv1	11	141.05
Tv1	12	133.51
Tv1	13	142.92
Tv1	14	142.92
Tv1	15	148.72
Tv1	16	148.28
Tv1	17	122.85
Tv1	18	107.61
Tv1	19	107.61
Tv1	20	114.07
Tv1	21	130.05
Tv1	22	221.47
Tv1	23	257.94
Tv1	24	258.33
Tv1	25	168.46
Tv1	26	178.54
Tv1	27	221.47
Tv1	28	221.47
Tv1	29	163.32
Tv1	30	196.25
Tv1	31	180.35
Tv1	32	201.80
Tv1	33	324.41
Tv1	34	343.11
Tv1	35	372.94
Tv1	36	324.23
Tv1	37	331.58
Tv1	38	291.46
Tv1	39	406.16





Nefritis hematóricas y ME

Revisión de 322 biopsias de pacientes (niños)
con hematuria macro/microscópica
(\geq 6m.)

317 con ME / 315 con ME +IF.

➤ IgA	78 casos
➤ S.Alport	86
➤ EMBF	50
➤ vasculopatía	28
➤ otras	32

*Renal biopsy diagnosis in children presenting with haematuria.
Piqueras AI, White RH Pediatr Nephrol. 1998 Jun;12(5):386-91*

Familial metabolic disease

- Lipid disorders: Familial Lecithin-Cholesterol Acyl Transferase deficiency
Lipoprotein Glomerulopathy
Type III hyperlipoproteinemia
- Lysosomal storage disease : Fabry's Disease
Nephrosialidosis : Sialidosis
Galactosialidosis
Free Sialic Acid Storage
- Carbohydrate Disorders: Glycogen Storage Disease
- Organic acid Disorders: Methylmalonic Acidemia
- Peroxisomal Disorders: Zellweger's Syndrome
Adult Refsum's disease
Primary Hyperoxaluria
- Purine metabolism and handling disorders: uric acid and the kidney
- Membrane Transport Disorders: Inherited Fanconi S, Cystinosis, mitochondrial disorders
Dent's disease, Lowe's S. Fanconi-Bickel's s.

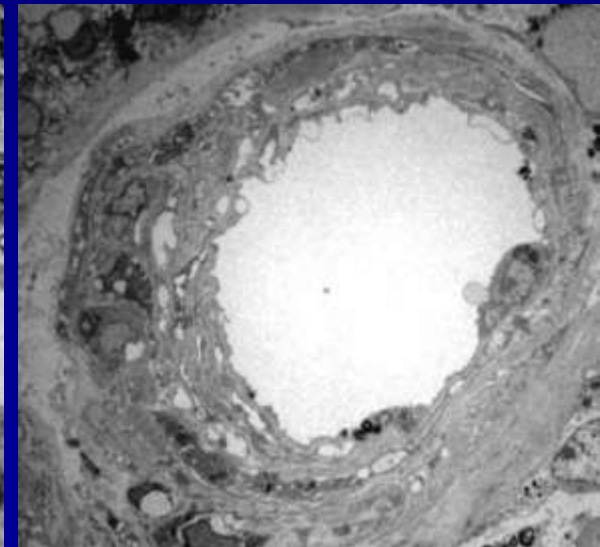
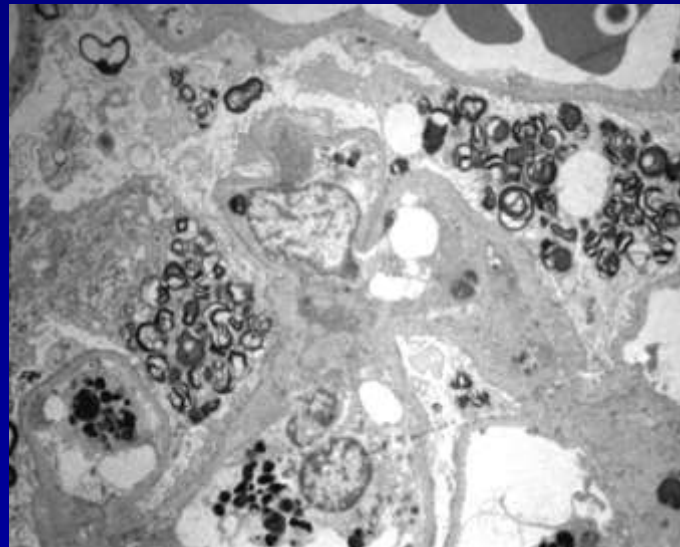
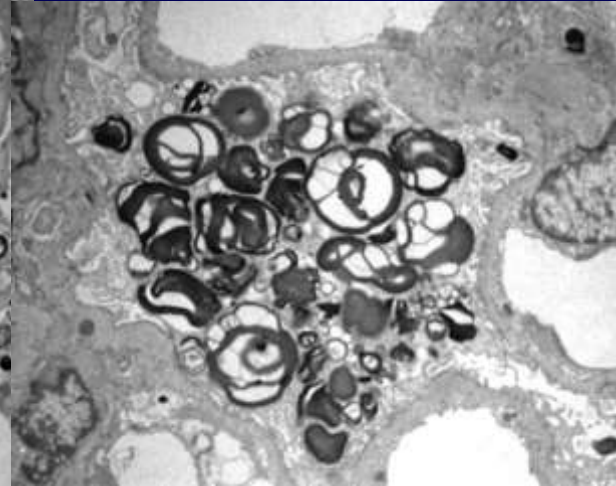
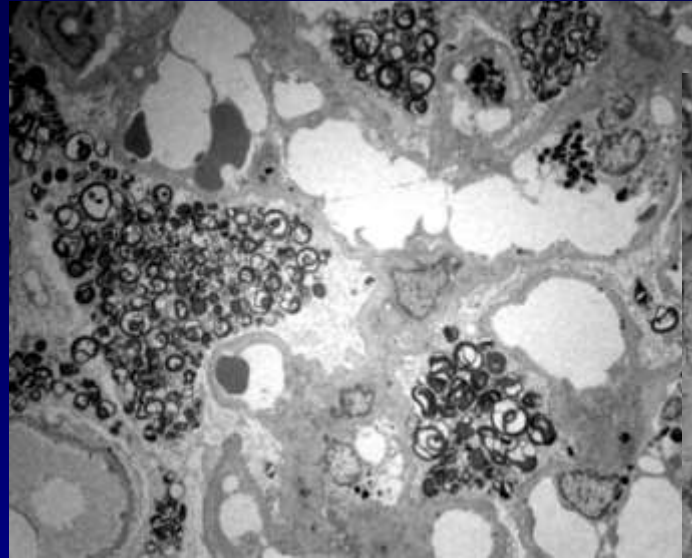
Biopsia renal. Utilidad del ME

Enf. Fabry

- Cuerpos mieloides en:
 - Podocitos
 - c. mesangio
 - c. endotelio
 - c. tubular



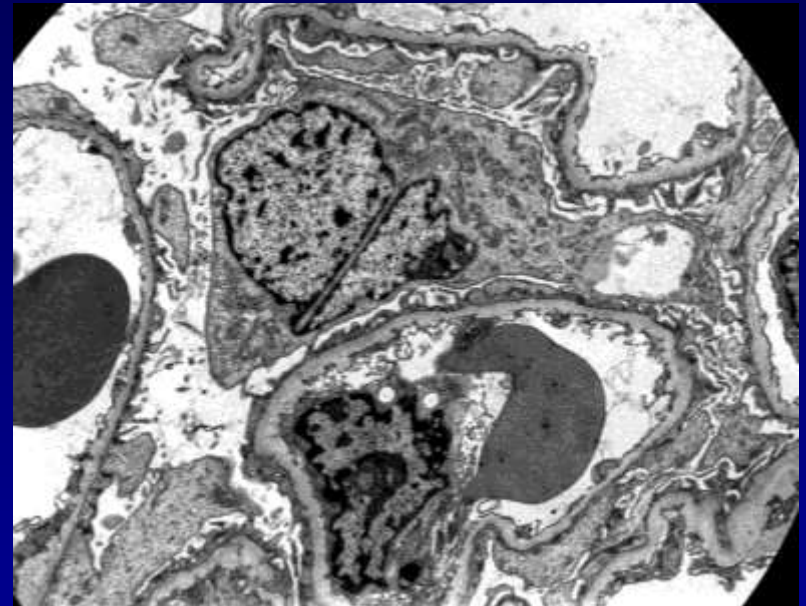
**Reducción/ausencia de
alfa-galactosidasa A**



Respuesta Básica del glomérulo ante la agresión

Patología primaria
epitelio/podocito

- Hiperplasia
- Fusión continua



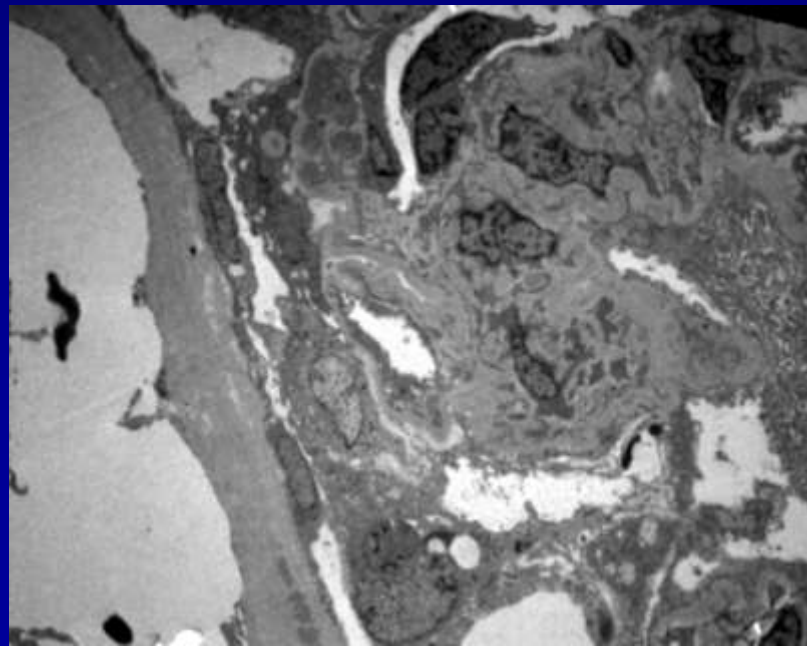
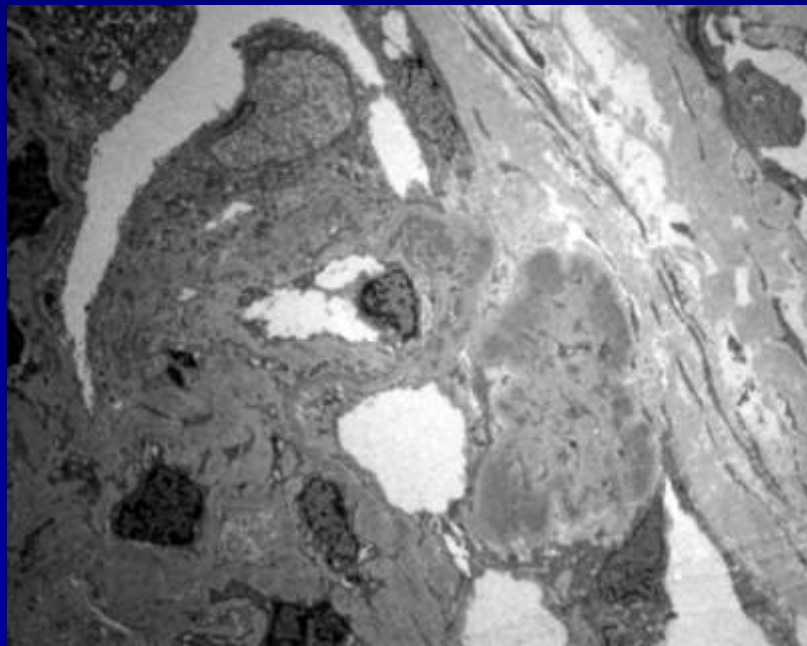
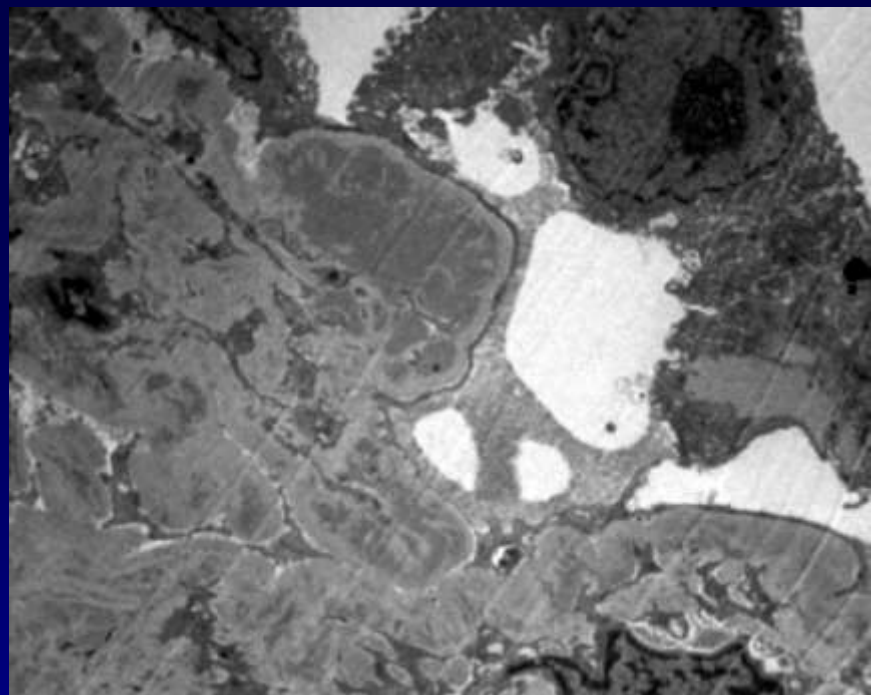
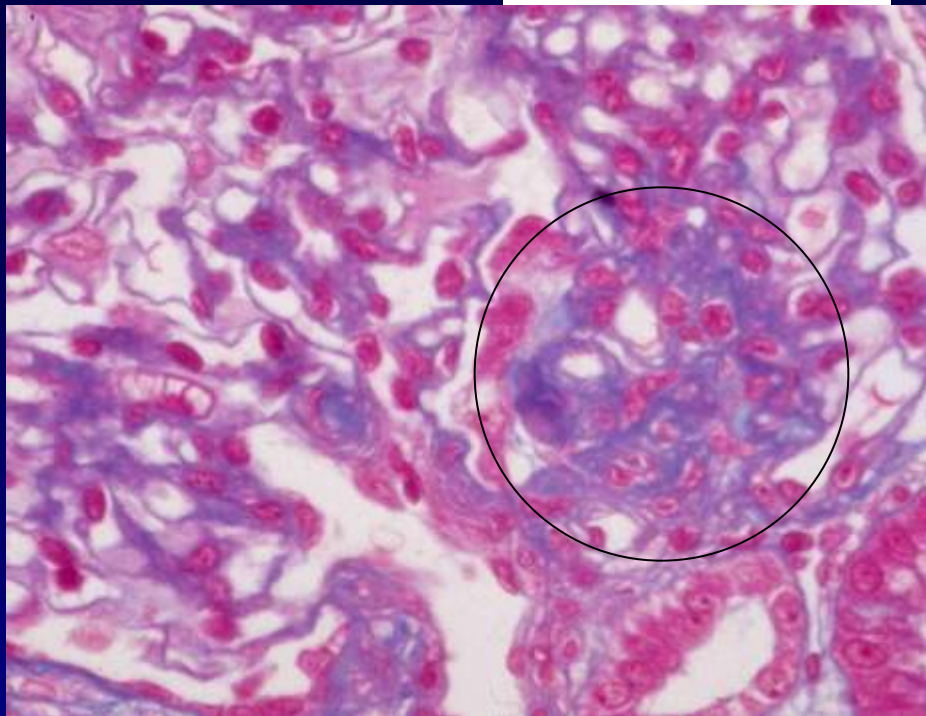
SNefrótico Congénito
S. Nefrótico Idiopático
GP Colapsante

Infantil precoz
Infantil tardío
Adulto



PROTEINURIA/SN

B07-8054 EHFS

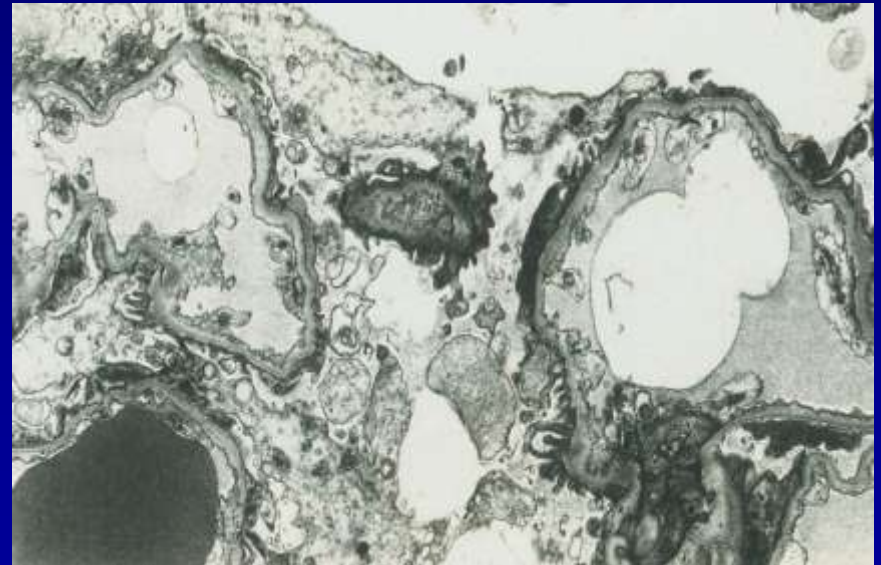


J Am Soc Nephrol. 2011 Feb;22(2):239-45. Epub 2011 Jan 21.

Mutations in INF2 are a major cause of autosomal dominant focal segmental glomerulosclerosis.

Boyer O, Benoit G, Gribouval O, Nevo F, Tête MJ, Dantal J, Gilbert-Dussardier B, Touchard G, Karras A, Presne C, Grunfeld JP, Legendre C, Joly D, Rieu P, Mohsin N, Hannedouche T, Moal V, Gubler MC, Broutin I, Mollet G, Antignac C.

The recent identification of mutations in the INF2 gene, which encodes a member of the formin family of actin-regulating proteins, in cases of familial FSGS supports the importance of an intact actin cytoskeleton in podocyte function.



SNI: Variantes de E/H-FS

Ultraestructura

❖ Clave diagnóstica

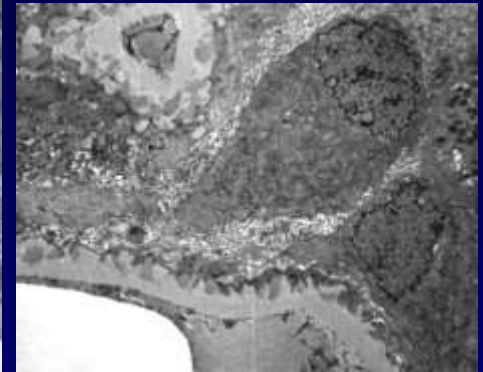
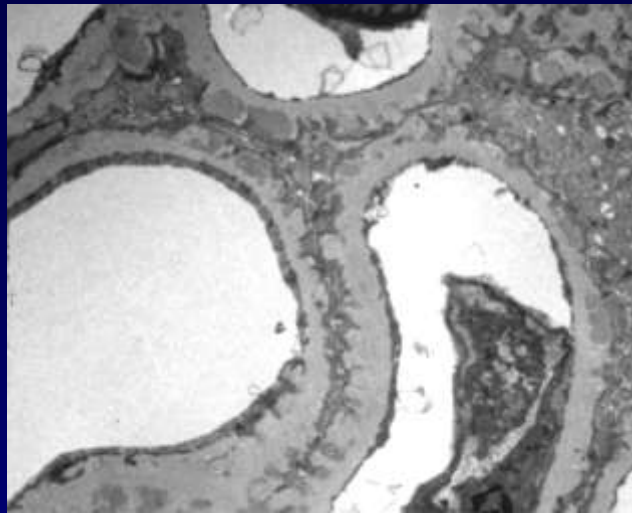
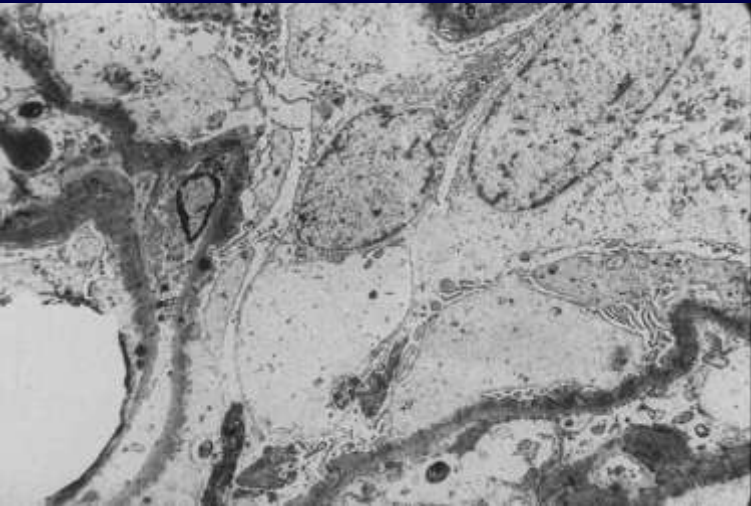
MO
+
IF: igM, C1q f/s
+
Fibrosis intersticial

❖ Ultraestructura

No característica diagnóstica
Fusión pedicelar continua
Despegamiento pedicelar
Formación de seudomembrana
Colapso capilar
Esclerosis

❖ Diagnóstico diferencial

Esclerosis global senil
Formas III esclerosante de NL
Formas crónicas de gn. pauci-Inmune



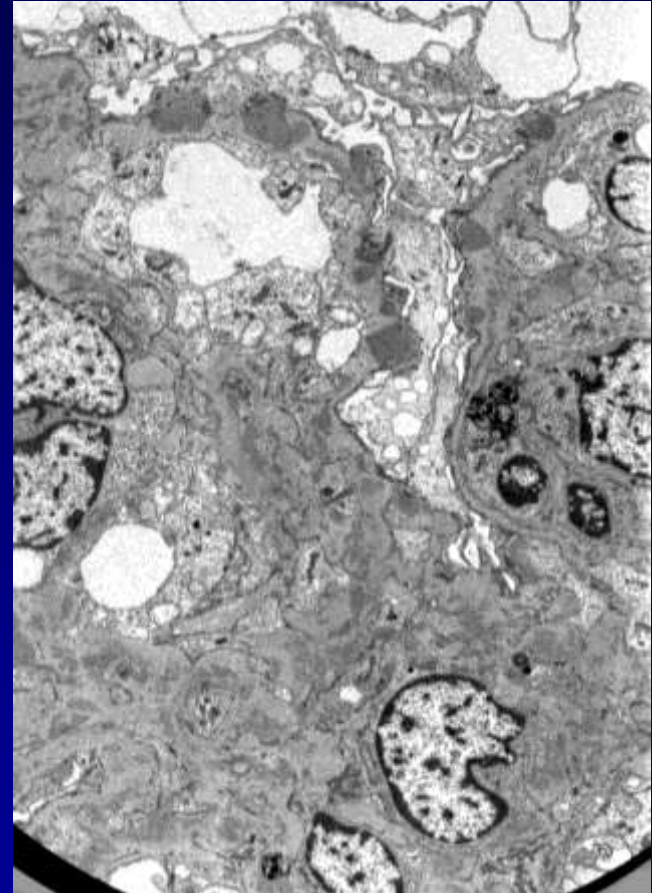
Gn Membranosa



Hipertrofia podocitos
Depósitos E-D
Alteración MBG

Diferencias entre GNM lúpica y GNM primaria

- Mayor grosor de MBG
- Mas intensidad de depósitos
- Tamaño mas irregular
- Relación con grado de proteinuria
- No disposición regular depósitos:IgG/C3
- No relación con Cr



Muda AO et al.,

Am J Kidney Dis. 1999 Jul;34(1):85-91

Danilewicz M. : Gen Diagn Pathol. 1997 Jun;142(5-6):305-10

Respuesta Básica del glomérulo ante la agresión

Patrones básicos

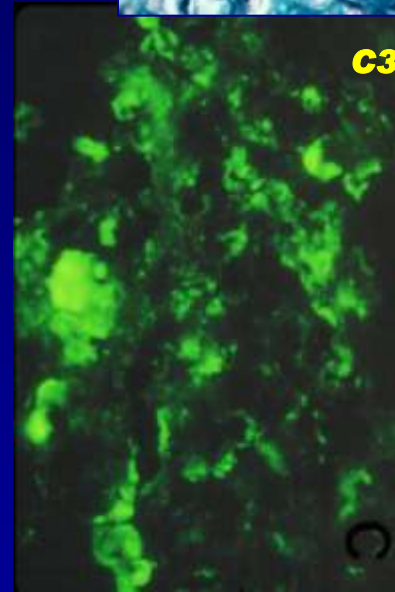
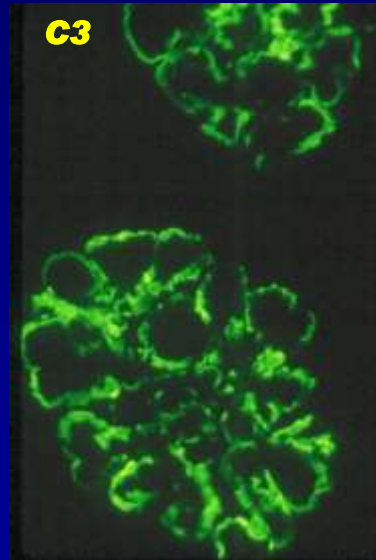
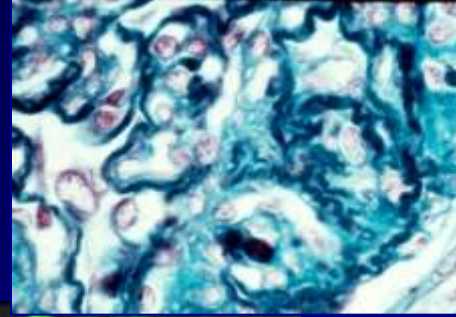
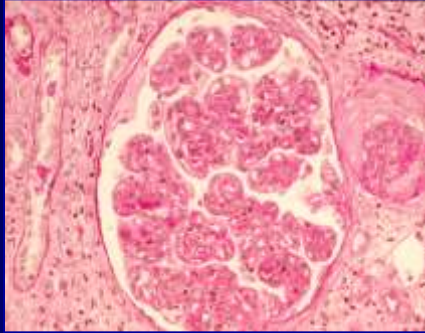
- Lesiones mínimas
- Proliferación mesangial difusa
- Gn. Membranosa
- **Gn. Mesangiocapilar**
- **depósitos subendoteliales**
- **depósitos densos**
- Gn Extracapilar difusa
- >50% semilunas
- Esclerosante difusa

Rasgos cualificantes/ sobreimpuestos

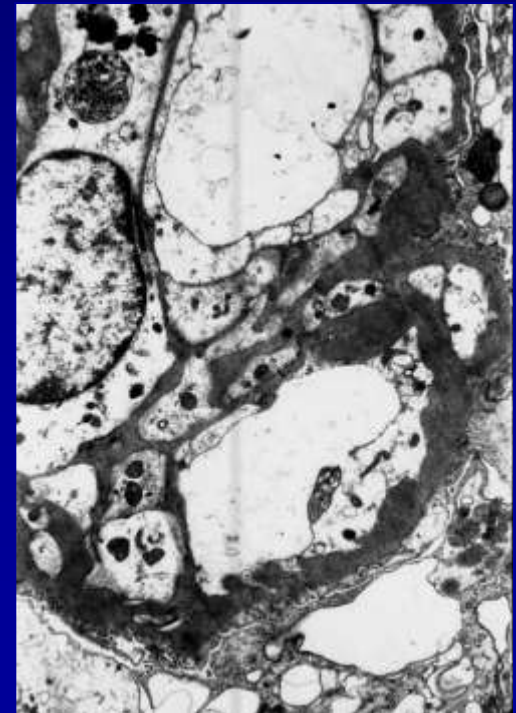
- **Infiltración leucocitos**
- Esclerosis/hialinosis segmentaria
- Trombosis
- Necrosis focal
- **Engrosamiento segmentario MB**
- **Dobles contornos**
- Esclerosis global
- **Depósitos mesangiales**
- Depósitos subepiteliales
- **Depósitos subendoteliales segment**
- Inflamación pericapsular
- **Prolif. Extracapilar segmentaria**

**Patrón básico
Mesangiocapilar Tipo I**

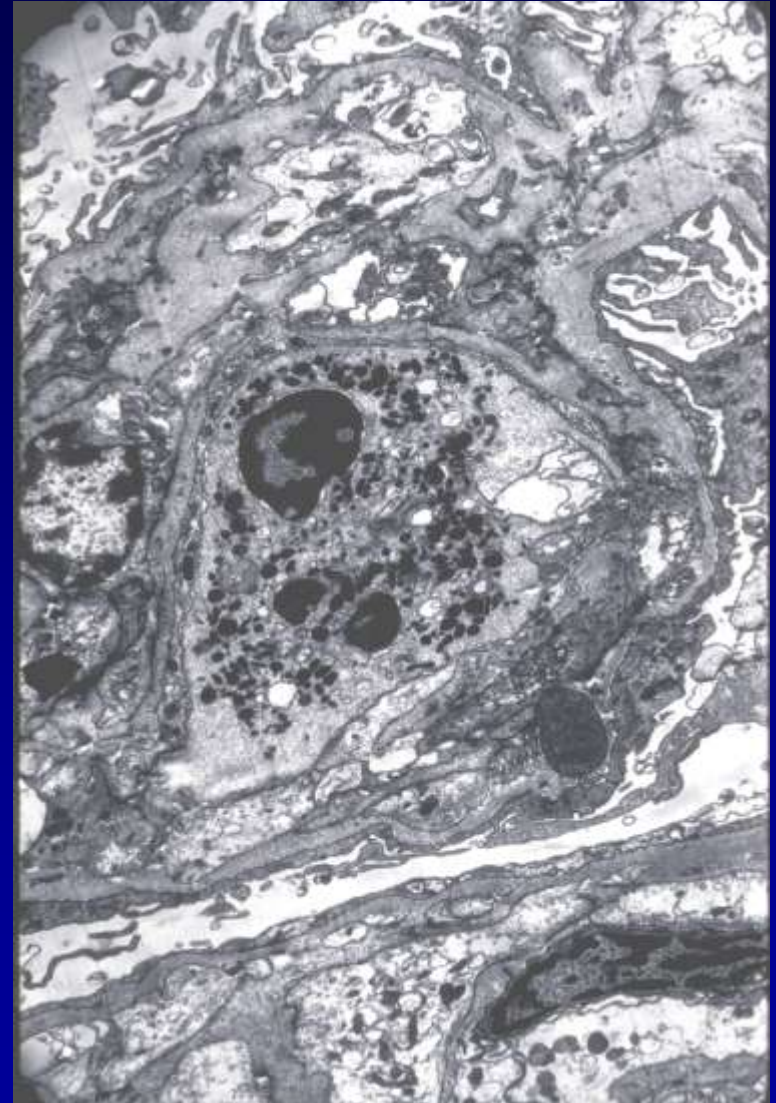
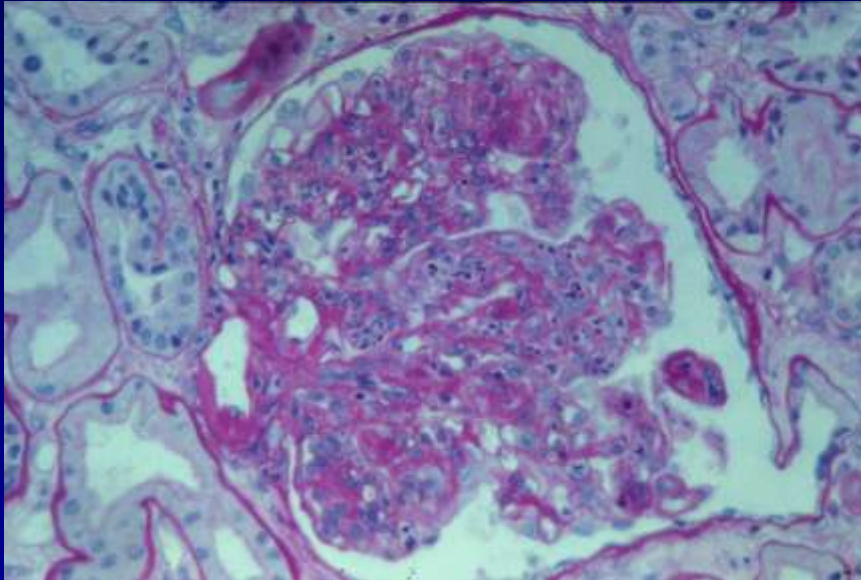
Patrón básico Mesangiocapilar Tipoll



C3



Enf Depósitos Densos: Tipo polimorfo con ME Y MO



Gn Mesangiocapilar, Tipoll

CONCLUSIONES:

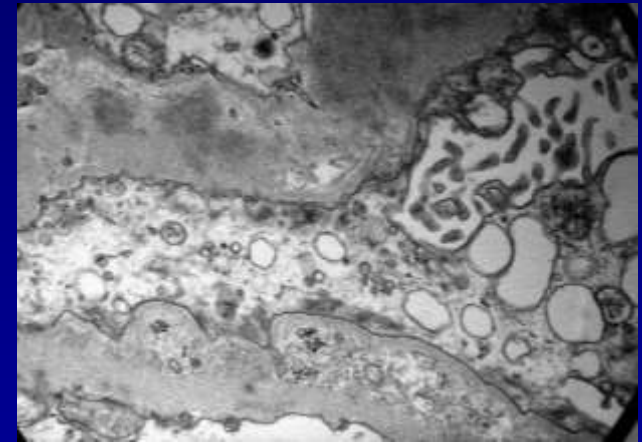
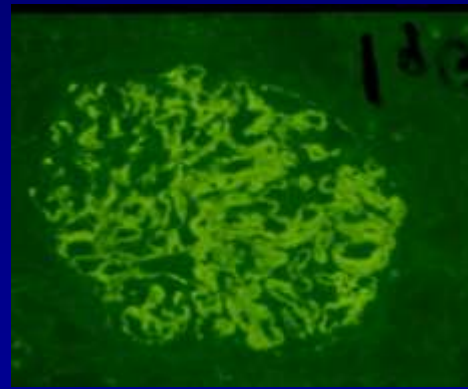
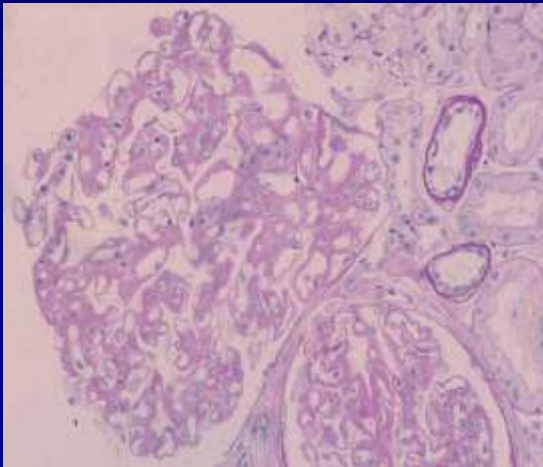
- **Las características histológicas son variables**
- Dos patrones con IF. Linear C3 + granular mesangial
granular grueso central
- Relación del patrón IF y características con ME
patrón linear : DD a lo largo de MBG
patrón mesangial central : DD situación variable, + Mesangio
- **Características con ME variables: DD no siempre continuos**
- **Fundamental para su diagnóstico ME + IF**
- Alta pérdida del injerto por recurrencia (>75%)

PAPEL DEL MICROSCOPIO ELECTRÓNICO EN LA BIOPSIA RENAL

Diagnóstico y Mecanismos patogénicos

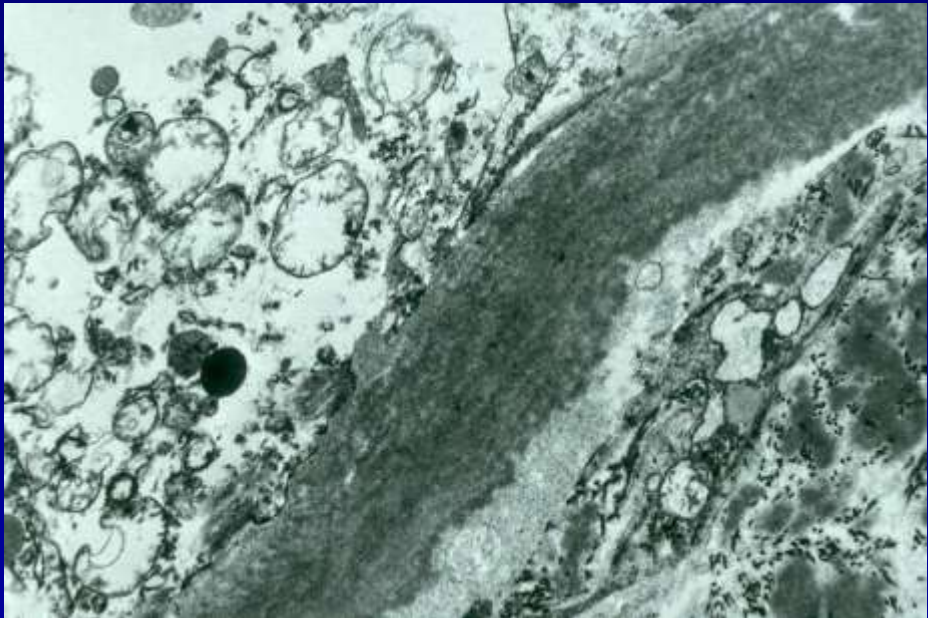
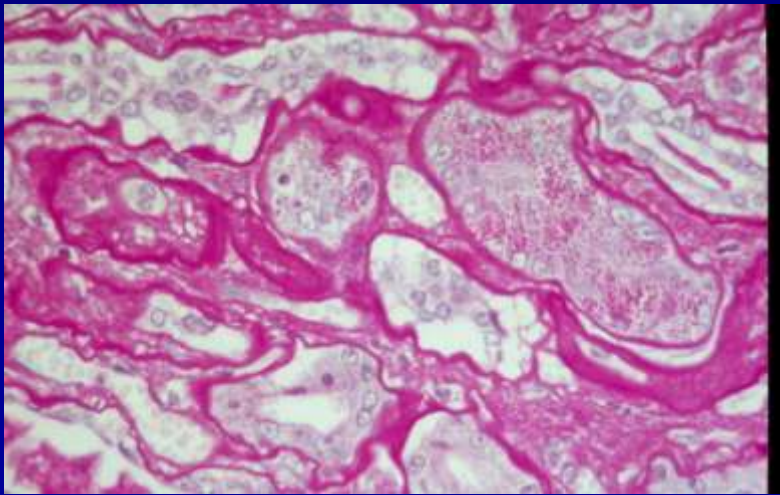
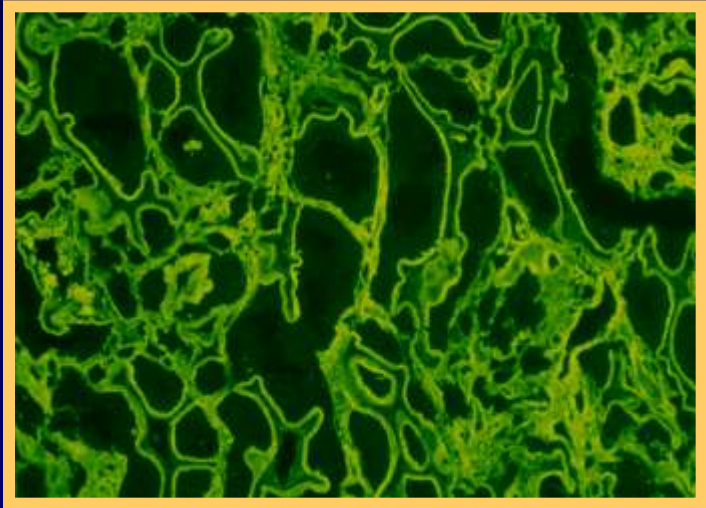
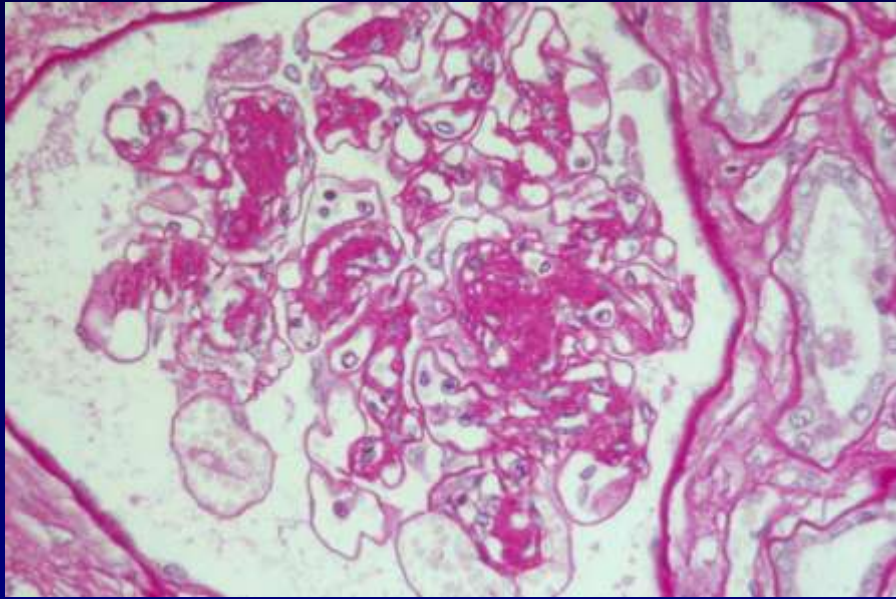
NUEVAS ENTIDADES

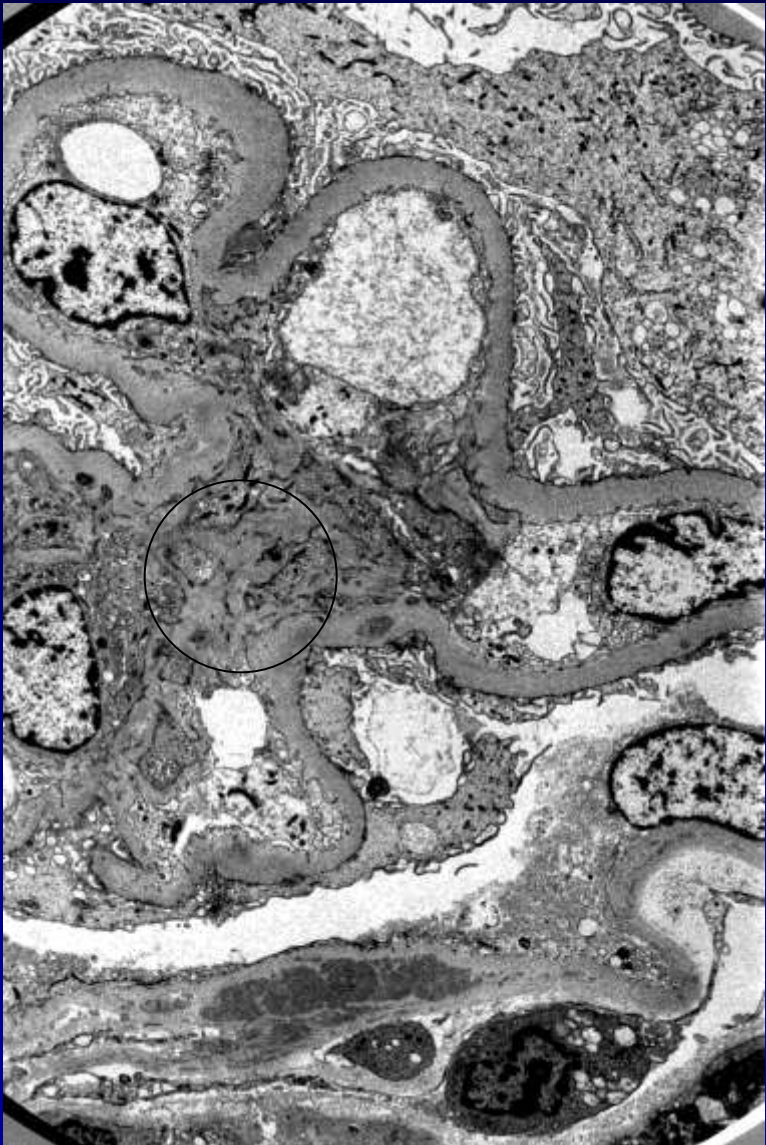
GLOMERULOPATIAS FIBRILARES NO AMILOIDOTICAS



- Rosenmann E., Eliakim M., Nephron,1.977.- *Gn. Fibrilar amilode-like*
- Korbet S.M., et al., Am.Kid.Dis. 1.991. *Gn Inmunotactoide*
- Alpers C.E., Am.Kid.Dis., 1.993.-*Gn. Fibrilar e Inmunotactoide*
- Assmann K.J.M., et al. Am.J.Kid.Dis. 1.995- *Gn. Familiar asociada a depositos de fibronectina*
- Ikeda K., et al., Clin.Nephrol. 1.993 -*Gn. Con depósitos de clágeno tipo III*

EDCL





Amiloidosis : Ultraestructura

- Depósito fibrilar
- Disposición al azar
- Tamaño entre 14.000 nm longitud y 7.000 diámetro
- Depósitos en cualquier localización.

Mesangio

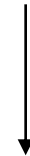
MBG

Caps. Bowman

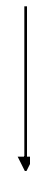
MBT

Arterias, arteriolas

- Importancia patogénica c.mesangial y lisosomas

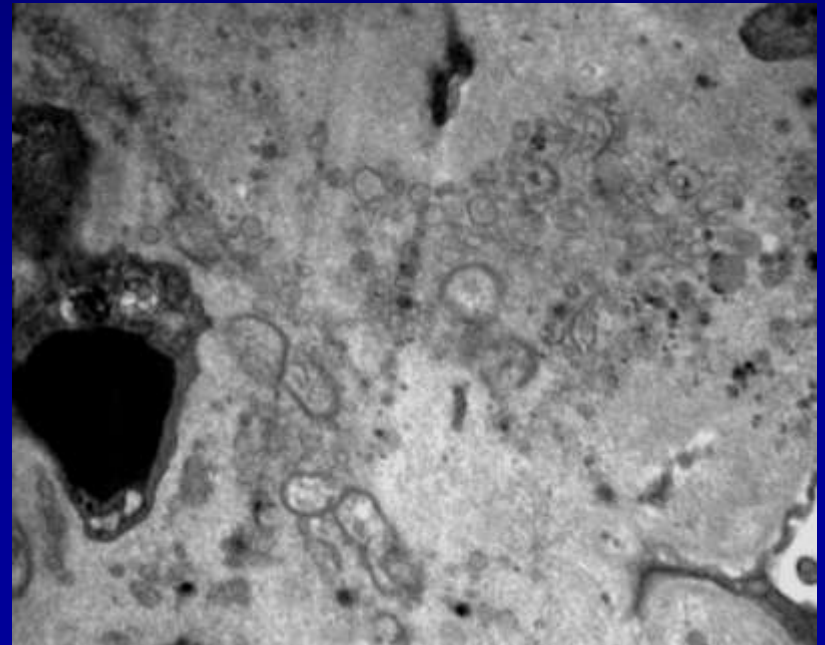
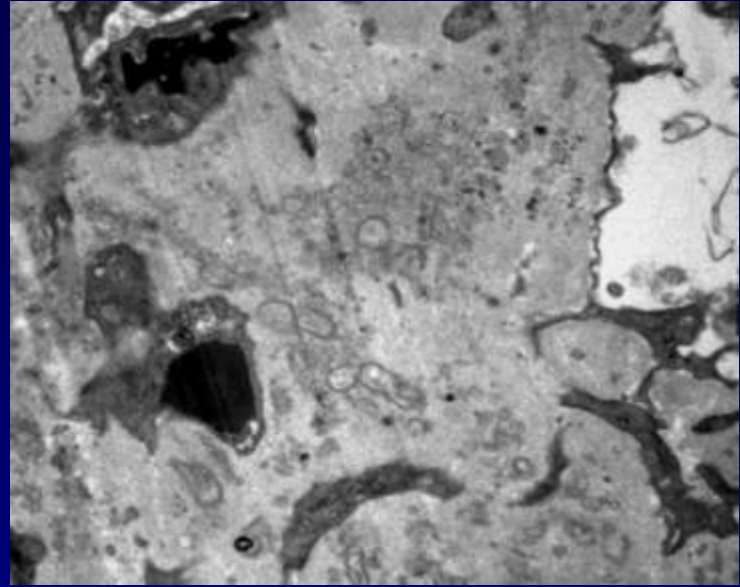
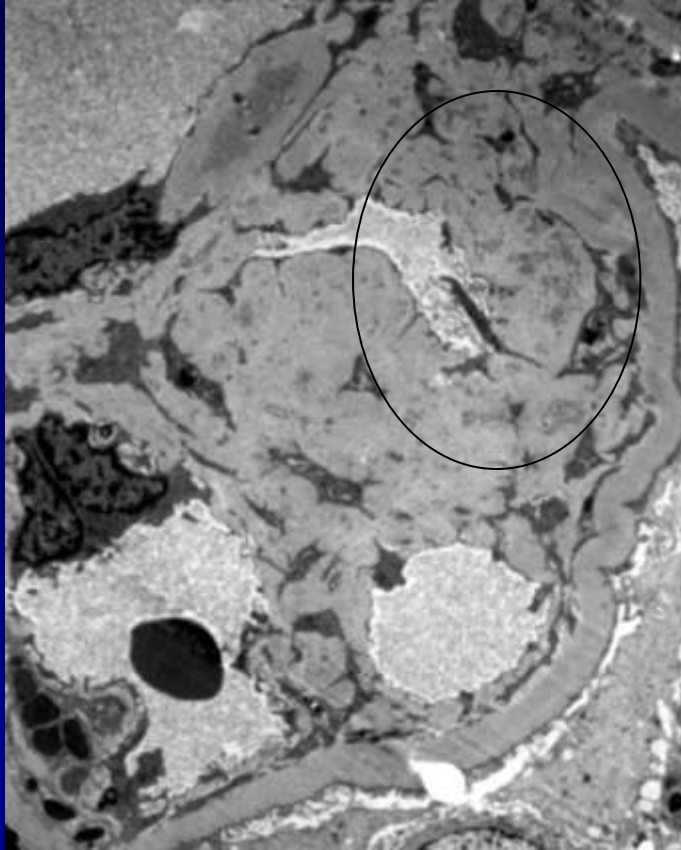


- Activación de metaloproteínasa

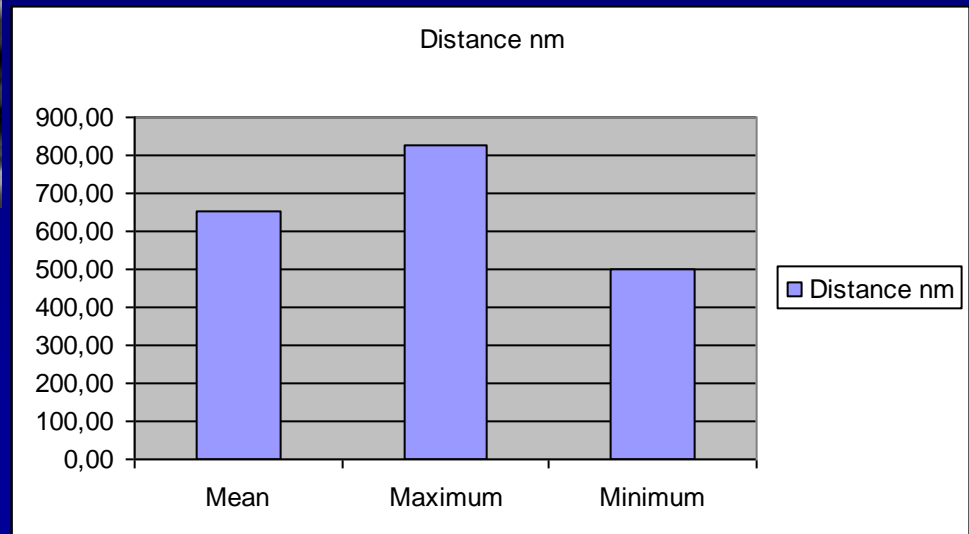
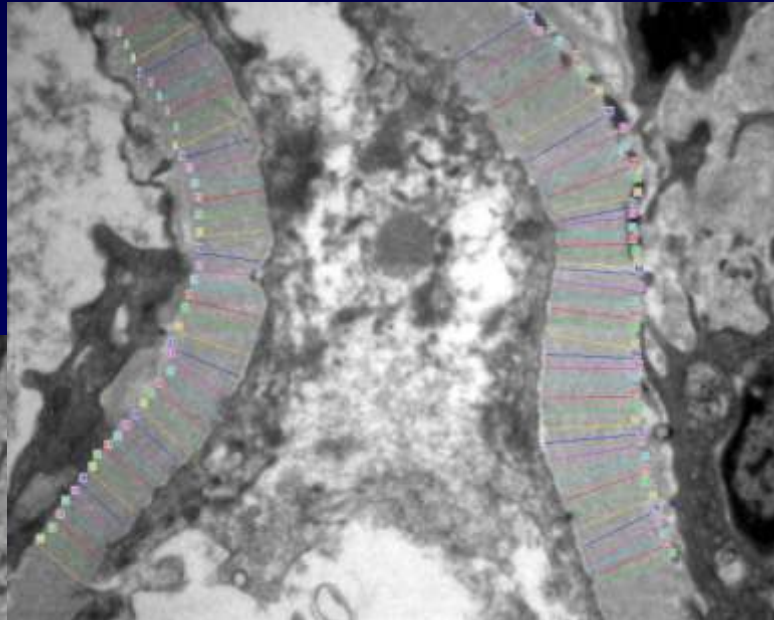
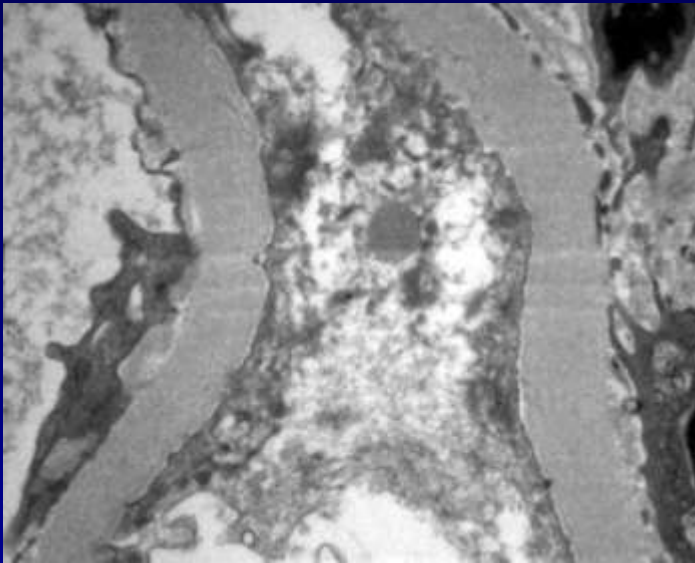


- Destrucción de matriz mesangial

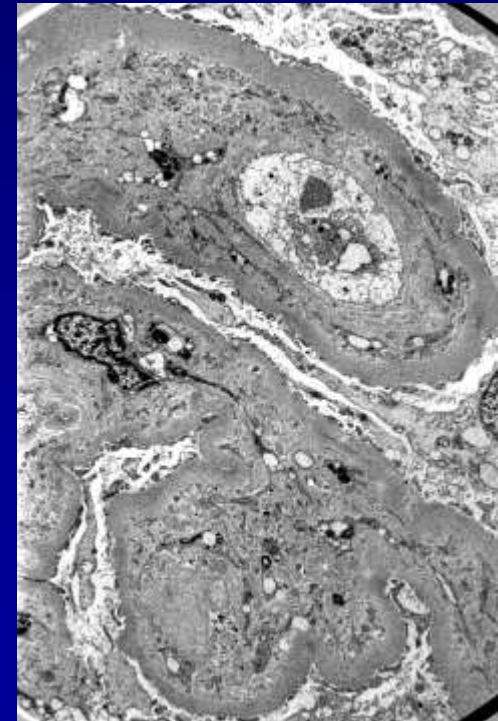
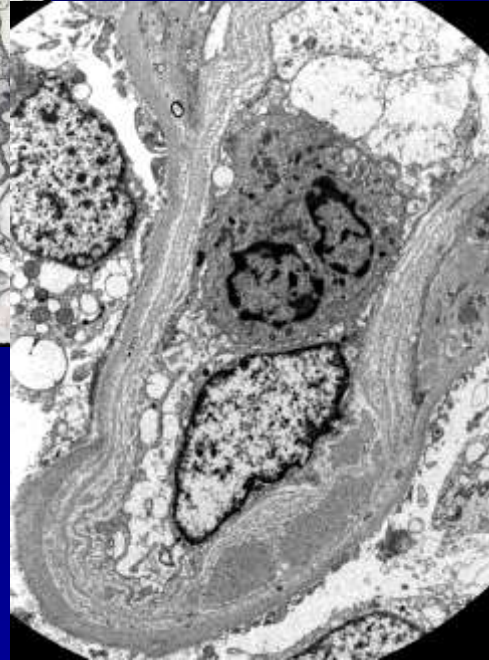
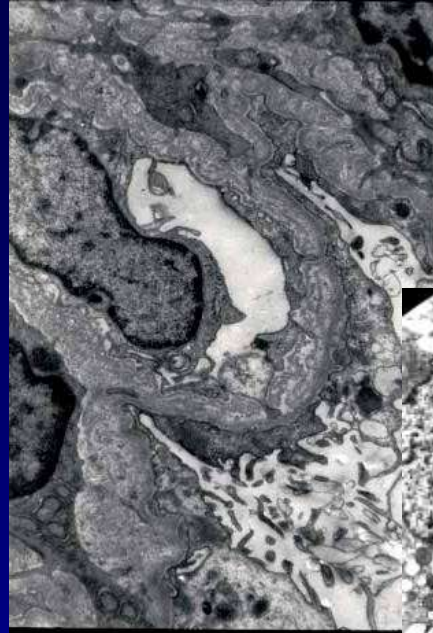
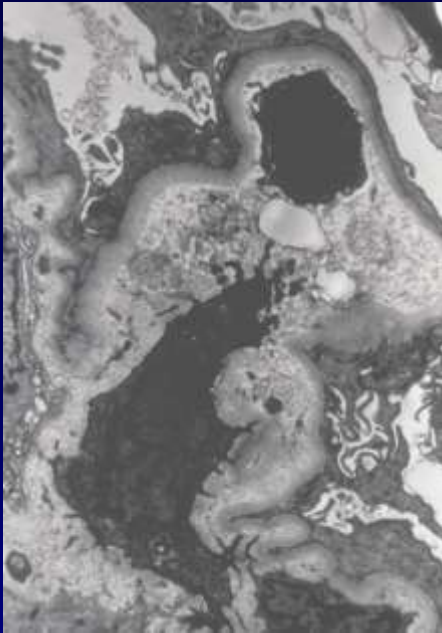
Diabetes: depósitos microtubulares/fibrilares

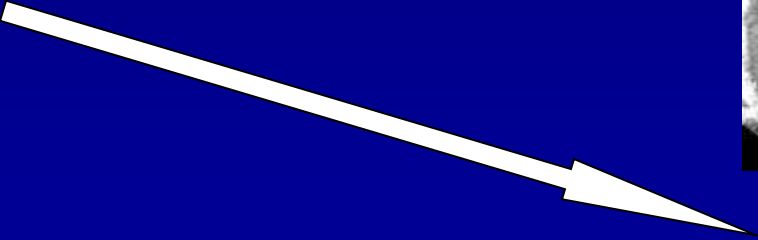


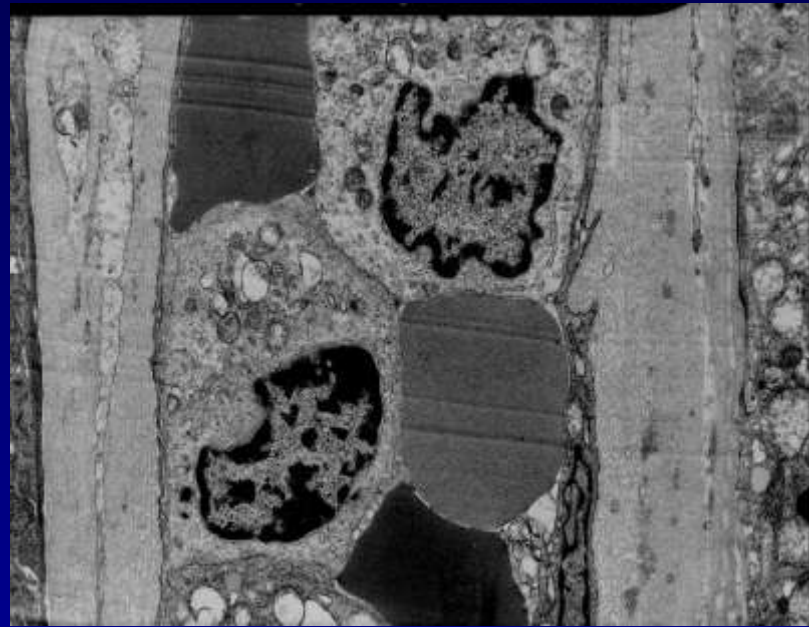
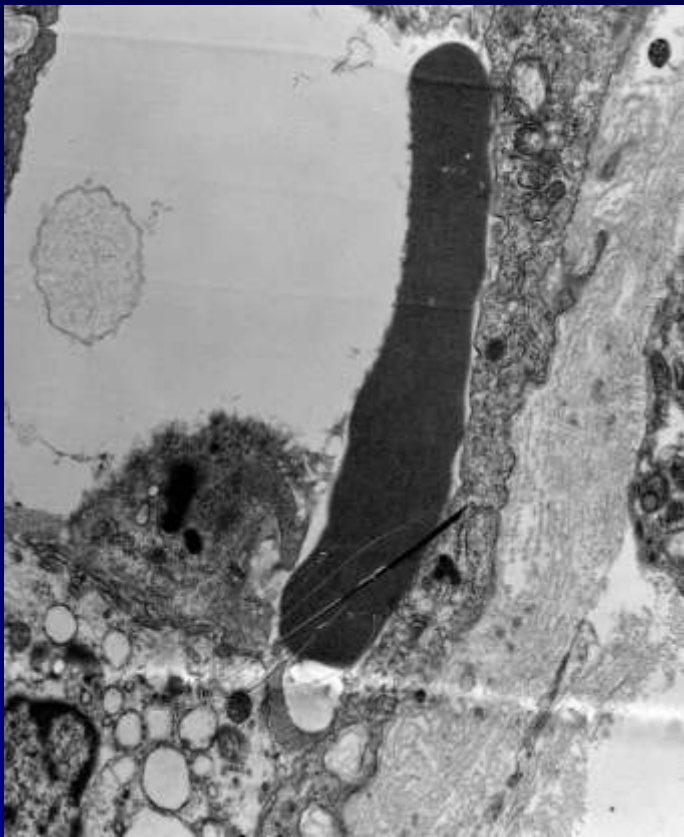
MBG. Diabetes



Glomerulopatía del trasplante



- 
- Monga G, et al. Ultrastructural Pathol 1990,14:201
 - Ivanyi B., Transplant capillaropathy. NephroDial Transplant 2003,18:655

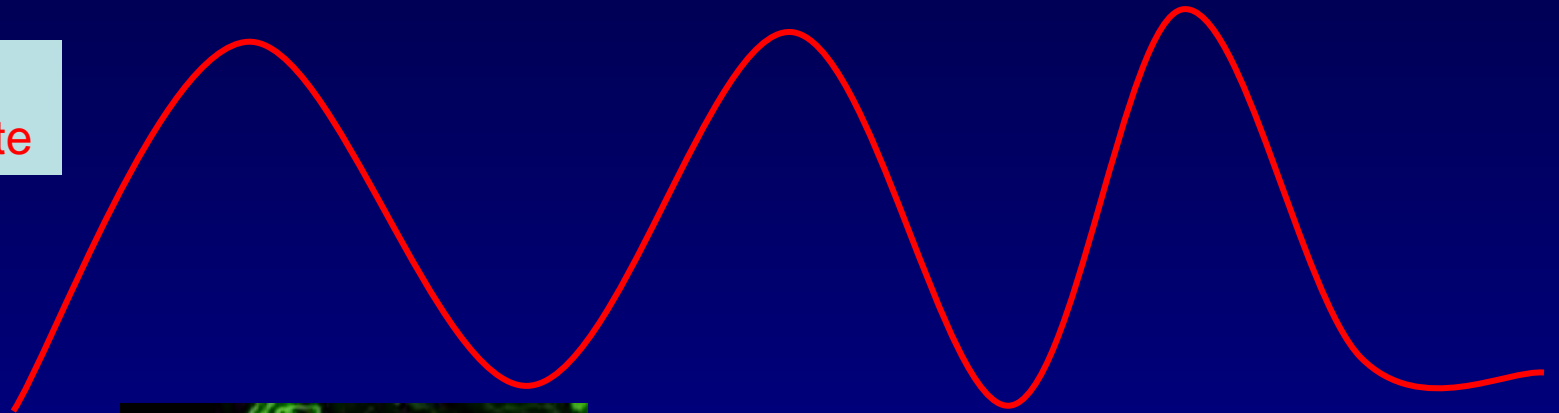


Ivanyi B. Et al., Mod Pathol 2001:14

severa multilaminación de MBG/MBT (>4) ocurre exclusivamente en RC

Colvin. JASN 18:1046-1056, 2007

Ac.
Antidonante



Tiempo

PTC

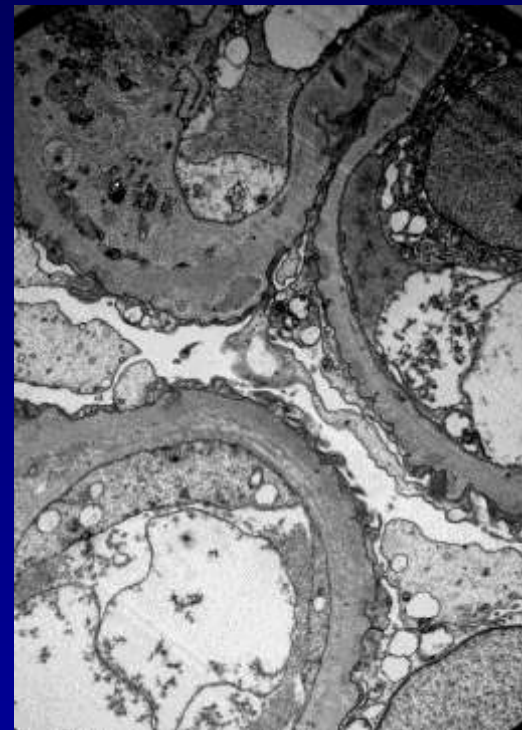
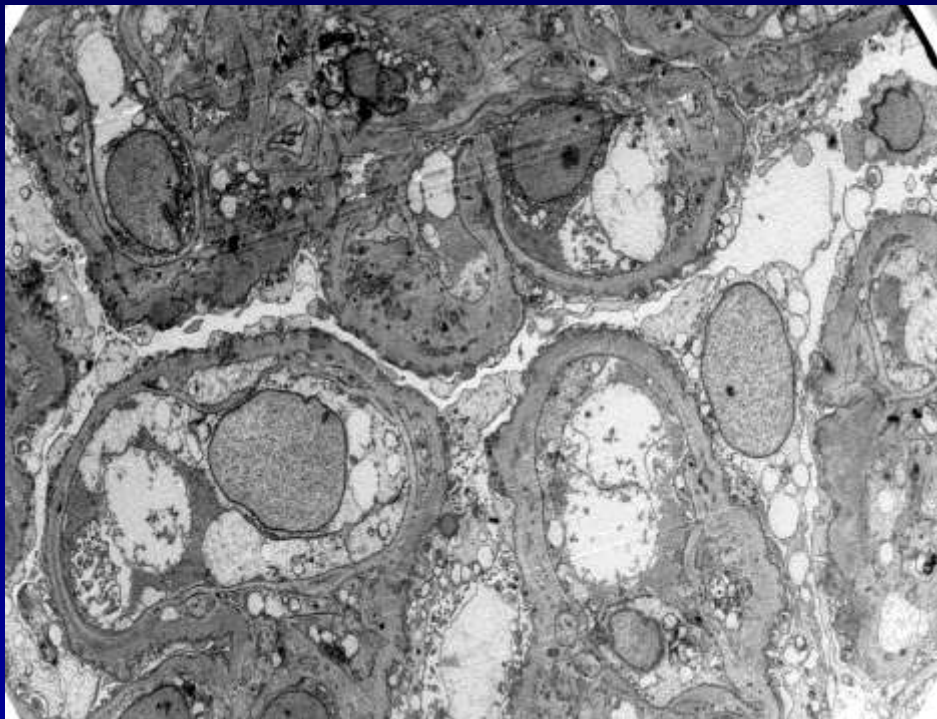
C4d

- + - + - + -

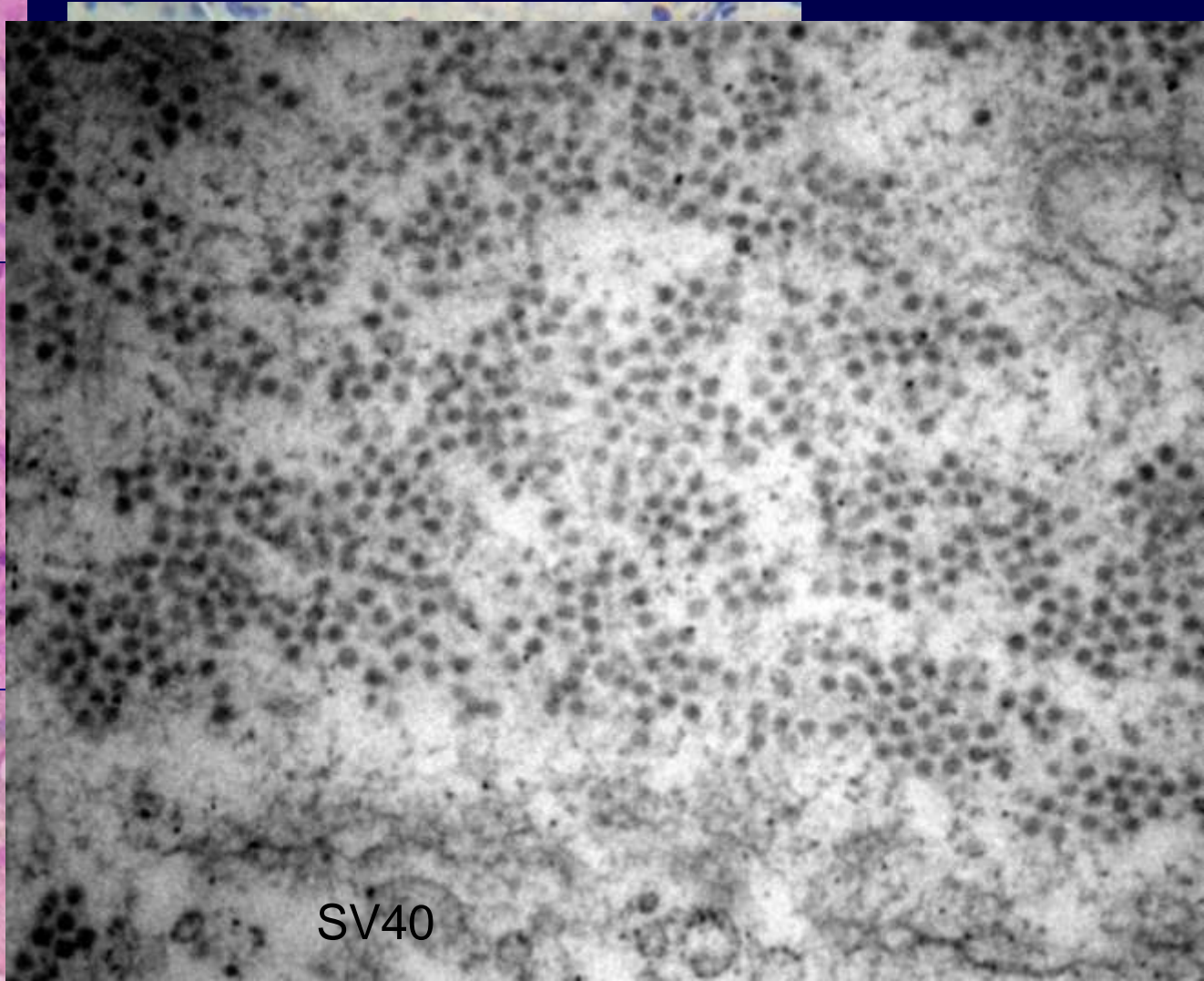
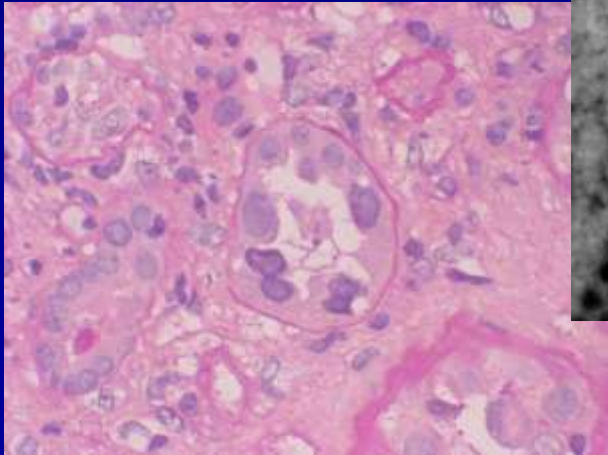
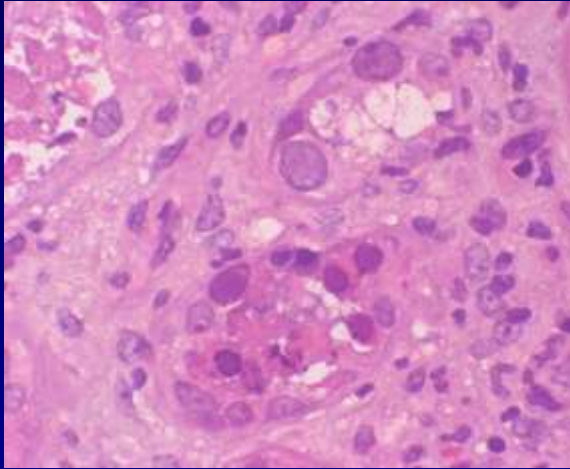
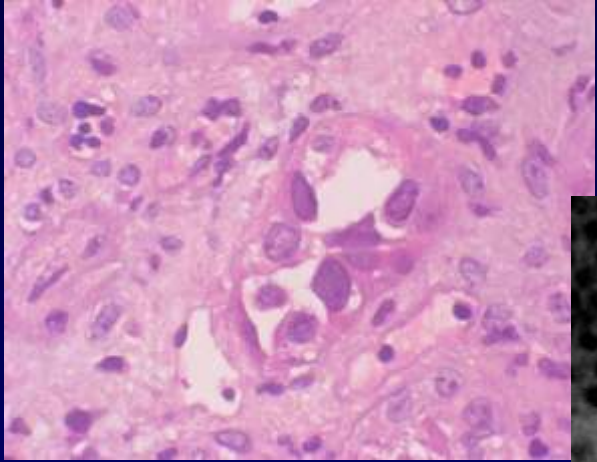
BM



Glomerulopatías Mixtas



Injerto renal :virus BK



SV40

Aplicación del ME en la biopsia renal

- Proteinuria/hematuria aislada.
despistaje de Enfermedades hereditarias: S.Alport/SMBF
- Formas histológicas(mo) mixtas
- Enfermedades metabólicas
- Enfermedades por depósitos fibrilares
- Formas con patrón GMP
- Tansplante . Multilaminación

A reevaluation of routine electron microscopy in the examination of native renal biopsies. Haas M.

Estudio y revisión de 233 biopsias con > de 5 glomérulos en mo, 2 glomérulo en IF y < = 1glom en ME.

En 50 casos (21%) el ME fue necesario para el diagnóstico final

En 2 casos el diagnóstico preliminar fue incorrecto

En 8 casos (3%) el ME aportó información adicional importante

Los diagnósticos que requieren estudio ultraestructural adicional son:

LMG

Nefropatía diabética inicial

NL forma membranosa

GN MGC/ membranoproliferativa

SMF/Alport

Nefropatía asociada a SIDA

No requieren usualmente estudio:

N IgA

Formas difusas NL (IV)

F/S Gn excepto forma “colapsante”

Gn Extracapilar P-I

Nefritis intersticial

Amiloidosis

Utilización ME en nefropatología

Absoluto

Hematuria Hereditarias

SN Congénito Gn

Metabólicas Fabry

Proteinuria aislada

S. nefrótico

LES: tipos

**Gn Membranosa
secundaria**

Gn Fibrilares

Gn MGC Tipos

Gp Trasplante

Laminación CPT

Relativo

**Gn Membranosa tipo
III**

Prediabetes

MAT

Dudoso

Gn Exudativas

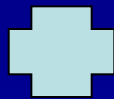
Extracapilares

IgA: subtipos

N Intersticial

Utilidad de la biopsia. Metodología

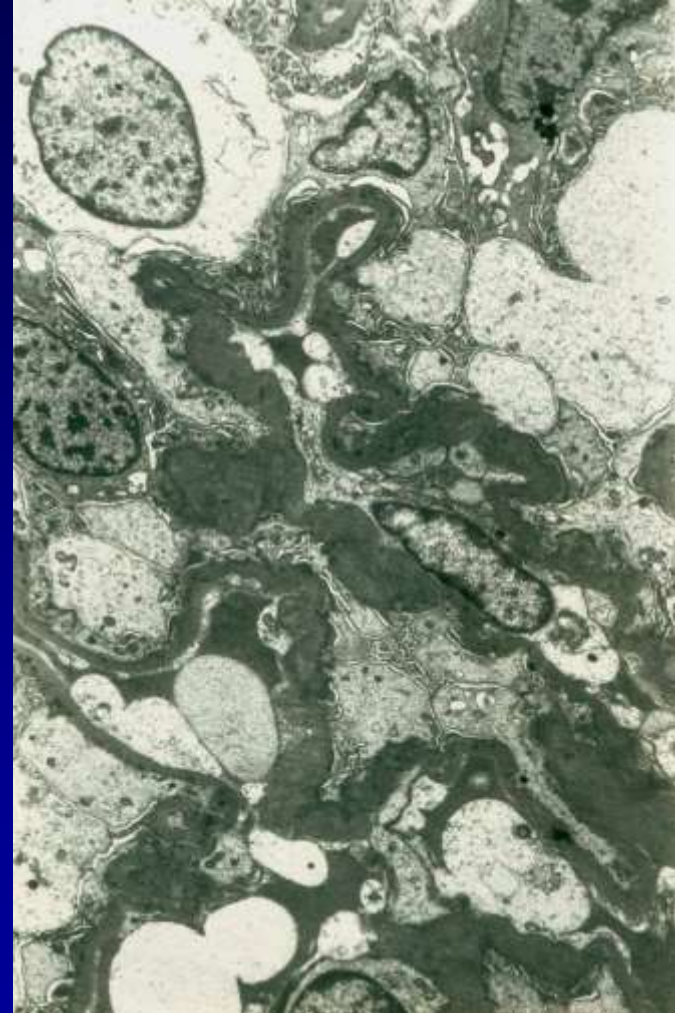
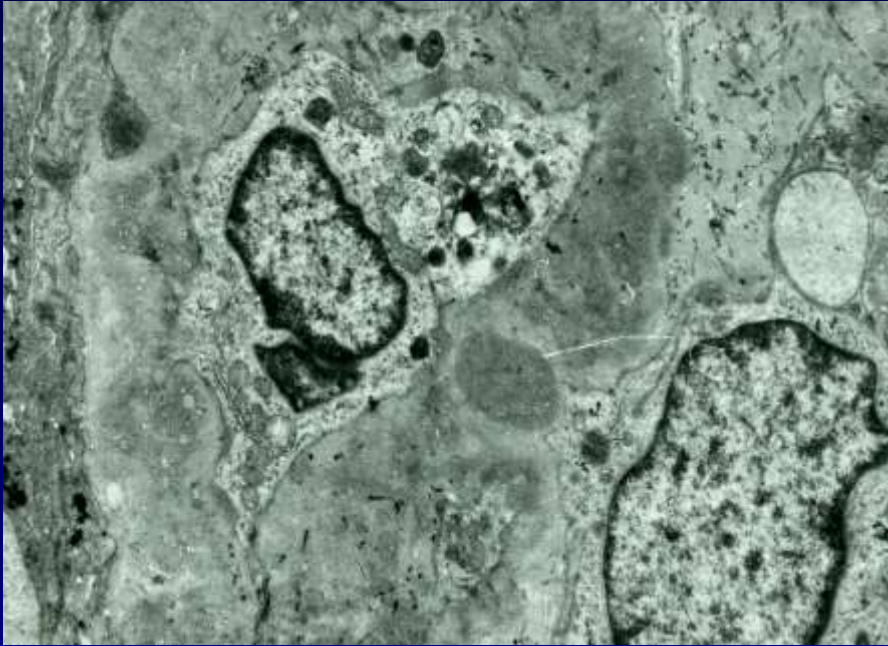
- Examen sistemático de diferentes compartimentos renales
- Identificación y localización de la lesión
- Cuantificación de la lesión
- Integración con el examen de IF
- ***Aportación del estudio ultraestructural***
- ***Identificación de mecanismos etiopatogénicos***
- ***Correlación clínica***



Información FINAL



GNMGC tipoll



Revisión de 113 biopsias

Clasificación en tres grupos en relación con ME

Estudio esencial, importante y no requerido

En el 31% (35 casos) el **ME era esencial** para establecer el diagnóstico final

En el 13.3% (15 casos) **El ME fue importante** pero no alteró el diagnóstico previo

En el 55% (63 casos) el **ME no fue necesario**.

Casos en los que el ME fue importante

SMBF

S Alport

E. Fabry

Lesiones mínimas

Gn MGC/ DDD

Estadío de GnM

Estadíos glomerulares prediabéticos

Identificar subtipo de Gn Membranosa Lúpica

Formas evolutivas en LES

ME No necesario

Amiloidosis

N IgA

Gn Extracapilar

Pol J Pathol. 2007;58(2):87-92

Current position of electron microscopy in the diagnosis of glomerular diseases.

[Wagrowska-Danilewicz M](#), [Danilewicz M](#).

Aproximación a la biopsia renal

